

تحضير بعض مشتقات ٤,٣,١-أوكساديازول بطريقة الأكسدة التحولية ودراسة فعاليتها البيولوجية

خمايل محمد فياض الجنابي ، بشرى عبد المرتاح خير الله ، خالد مطني محمد الجنابي

قسم الكيمياء ، كلية التربية ، جامعة تكريت ، تكريت ، العراق

(تاريخ الاستلام: ٢٠١٠ / ٤ / ٢٧ --- تاريخ القبول: ٢٠٠٩ / ٦ / ٧)

الملخص

يتضمن هذا البحث تحضير مشتقات الهيدرازيد (A₄-A₂) عن طريق تفاعل استرات الحوماض الكاربوكسيلية مع الهيدرازين المائي في الإيثانول المطلق ، ثم تحويلها إلى مشتقات الهيدرازون (A₁₇-A₅) المقابلة بالتكثيف مع بعض الالديهيدات الأروماتية ومن ثم تحويلها إلى مشتقات ٤,٣,١-أوكساديازول (A₃₄-A₂₀) بالاكسته باستخدام شائي أوكسيد الرصاص في حامض الخليك التجاري. خصت المركبات المحضرة بطياف الأشعة فوق البنفسجية (I.R) وتحت الحرارة (U.V) وبتقنية كروماتوغرافية الطبقة الرقيقة (T.L.C)، فضلاً عن الخواص الفيزيائية مثل اللون ودرجات الانصهار.

كما تضمن البحث دراسة تأثير عدد من المركبات المحضرة (A₇-A₂₈,A₂₆,A₂₅,A₂₄,A₂₃,A₂₂,A₂₀,A₁₇,A₁₄,A₁₃,A₁₂,A₇) على نمو أربعة أنواع من الجراثيم المقاومة للمضادات الحيوية وهي أشريشيا القولون *Escherichia coli* وسيديموناس ايروجينوزا *Staphylococcus aureus* *Pseudomonas aeruginosa* السببية المقيحة *Streptococcus pyogenes* الموجبة لصبغة كرام ، وتمت مقارنة النتائج مع ثلاث من المضادات الحيوية القياسية كعناث للسيطرة وهي (كلورامفنيكول Chloramphenicol وسيفالكسين Cephalaxine وجنتاميسين Gentamycin).

المقدمة

الفزلات الانتقالية والتي تحفز العمليات الحياتية^(16,17) ، كما استخدمت كملذات وكمبثات للبوليمرات، وكبادئات لعملية البلمرة، وكمضادات للأكسدة وكذلك استعملت كميادات للأعشاب، والحشرات، والطفيليات، والقوارض وكمنظمات لنمو بعض النباتات.^(٥)

كما استخدمت الهيدرازونات كليكاندات متعددة السن لتقدير عدد من أيونات الفزلات الانتقالية بطريقة القياس اللوني أو قياس شدة الفلورة⁽¹⁸⁻¹⁹⁾.

بالنظر للأهمية الكبيرة لمعوضات ٤,٣,١-أوكساديازول من الناحيتين البيولوجية والصناعية، فقد حظيت باهتمام عدد كبير من الباحثين ، فقد حضر من مفعالة حامض الهيدروكلوريك المركز مع مشتق الثايوسي咪يكارازيد^(20,21) او بتفاعل بنزايد هيدرازين مع ثائي كبريتيد الكاربون ، او من خلال تحول مركيبات ٤,١-ثنائي أسييل هيدرازين باستخدام حامض الفوسفوريك المتعدد (PPA)⁽²²⁾ وبطرق مختلفة منها الغلق الحلقي لمشتقات الهيدرازونات الاروماتية⁽²²⁾.

إن لمركيبات ٤,٣,١-أوكساديازول استخدامات واسعة ومهمة ولاسيما في المجال الطبي والزراعي والصناعي^(٤,٢)، إذ اثبتت الفاعالية البيولوجية لبعض معوضات ٤,٣,١-أوكساديازول وبس أوكساديازول كميادات للحشرات والأعشاب الضارة والديدان الشريطية^(٢٥)، وكذلك كمضادات للطفيليات⁽²⁶⁾ (Antifungal)، ومضادات للإلتهابات (Anti-Inflammatory)، ومضادات للبكتيريا (Antibacterial) ، ومضادات للفيروس العوز المناعي (HIV)^(٢٨)، وكمضاد لفايروس العوز المناعي (HIV)^(٢٩).

تعد الهيدرازيدات من الوسطيات المهمة لتحضير العديد من المشتقات العضوية مثل الترايزازولات، الثناديابازولات، الاوكساديازولات، قواعد شف (الهيدرازونات) اللافاتية وألاروماتية^(٤).

وقد أمكن تحضير العديد من مشتقاتها بتفاعل كلوريدات الحوماض مع الهيدرازين المائي بوجود البيريدين الجاف^(٥,٦) او من تفاعل استرات الأحماض الكاربوكسيلية مع الهيدرازين المائي في الإيثانول^(٧)، وبطرق مختلفة أخرى^(٨)

تمثل معظم هيدرازيدات الحوماض فعالية بيولوجية ضد أنواع مختلفة من البكتيريا والفطريات فضلاً عن فاعليتها ضد جرثومة مرض السل^(٩)، فقد أظهرت فعالية مضادة للالتهابات-Anti-inflammatory ومضادة للحساسية المفرطة^(١٠) وضد المكورات العنقدية الذهبية hypersensitivity^(١٠)، أما البكتيريا السالبة لصبغة كرام فقد أظهرت مقاومة ضد بعض هذه المشتقات^(١١).

تعد مركبات الهيدرازونات ذات أهمية في التحضير العضوي، فهي تستخدم كوسطيات لتحضير عدد من المركبات العضوية لاسيما المركبات الحلقي غير المتتجانسة مثل حلقة ٤,٣,١-أوكساديازول والتي حضرت باستعمال الغلق الحلقي لمشتقات أرويل هيدرازون باستخدام خلات الرصاص⁽¹²⁾ او باستخدام أوكسيد الزئبق واليود او استعمال انھیدريد الخليك او كلوريد البنزويل في البيريدين⁽¹³⁾.

تمثل مركبات الهيدرازون فعالية مضادة للتشنج⁽¹⁴⁾، ومضادة لسرطان الدم وانفصام الشخصية والتهاب السحايا الرقيقة⁽¹⁵⁾، وهي أيضاً تعمل على تقليل التوتير العصبي، ولها دور مهم في معالجة التدرن بسبب تشكيلها لمعقدات مخلية مستقرة مع

المزيج إلى درجة حرارة الغرفة، يرشح الراسب المتكون ويغسل بالإيثانول وتعاد بلوترته من مذيب مناسب. كما مبين في (الجدول ١).

(٣) تحضير مركبات الهيدرازونات (A₁₇-A₂₀)^(٣٨)

يمزج (0.1 مول) من الهيدرازيد المحضر مع (50 مل) من الإيثانول المطلق، ثم يضاف إليه محلول كحولي للبنزالديهيد أو أحد معوضاته (0.1 مول في 25 مل إيثانول مطلق)، ويصعد المزيج لمدة ساعتين ثم يبرد المزيج الفاعل ليعطي راسباً، يرشح وتعاد بلوترته من مذيب مناسب.

(٤) تحضير 5,2-ثنائي اريل -4,3,1-أوكسادايزول (A₃₄-A₂₀)^(٣٩)

يضاف (0.01) مول من أحدى الهيدرازونات المحضرة إلى (40 مل) من الحامض الخليك الثاجي ويحرك المزيج حتى يصبح متجانساً، ثم يضاف (0.01) مول، 39.2 غم من ثاني أوكسيد الرصاص ويحرك مزيج التفاعل باستخدام محرك مغناطيسي عند درجة حرارة الغرفة (25 °م) لمدة ساعة واحدة، ثم يخفف المزيج باستخدام (200 غم) من جريش الثاج و(100 مل) من الماء المقطر وترك (24 ساعة). ثم يرشح الراسب وتعاد بلوترته باستخدام مذيب مناسب. كما مبين في الجدول (11-7) .

الجزء العملي البايولوجي:

(١) المواد وطرق العمل:

استخدمت في هذه الدراسة أربعة أنواع من الجراثيم الممرضة وهي أشريشيا القولون (*E. coli*) سيدوموناس ايروجينوزا (*Ps. aeruginosa*) من الجراثيم السالبة لصبغة كرام والمكورات العنقودية الذهبية (*St. aureus*) والمكورات السببية المقحة (*Str. pyogenes*) كجراثيم موجبة لصبغة كرام.

ولقد أخذت هذه الجراثيم من الرافدين في مستشفى تكريت التعليمي وتم اختيارها لأهميتها في الحقل الطبي لما تظهره من مقاومة للمضادات الحيوية، وقد أخذت معزولة وتم تشخيصها في مختبرات الأحياء المجهرية في كلية الزراعة/قسم الصناعات الغذائية والتقانات الاحيائية / جامعة تكريت، ودرست صفاتها الكيميائية الحياتية وهي مطابقة لصفات المذكورة لهذه الجراثيم في المصادر^(٤١,٤٢).

(٢) الأوساط الزرعية:

تم استخدام الأوساط الزرعية الآتية وحضرت حسب تعليمات الشركة المنتجة لها.

وسط الأكار المغذي (Nutrient agar)^(٤٣) وسط الماكونكي (MacConkey)^(٤٤) وقد حضرت محلائل الفعالية البايولوجية باستخدام ثاني مثيل سلفوكسيد (DMSO) بثلاثة تراكيز (10, 2.5, 5 ملغم/مل).

ولوحظ أن بعض مشتقاتها تأثيرات تثبيطية لفعالية أنزيم الفوسفاتيز القاعدي في مصل دم النساء الحوامل^(٤٥).

وفي المجال الزراعي فقد استخدمت بعض المركبات الآتية بوصفه مبيداً للأعشاب كما إنه مضاد للفترات^(٤٦)، واستخدمت أيضاً كمبيدات حشرية^(٤٧)، كما وجد أن بعضها استخدام لقياس أشعة بيتا، وأشعة كاما، والنيوترونات السريعة والدقائق المتأينة في الأشعة الكونية وعبر التغيرات اللونية التي تحصل له^(٤٨).

في حين أظهر البوليمر (OXAr) مقاومة للحرارة كما أنه يساعد في عملية تجسس طلاء الأفلام المستخدمة في التصوير الفوتغرافي^(٤٩).

وأظهر المركب 5,2-بس (4-ثنائي مثيل أمينو فينيل)-4,3,1-أوكسادايزول فعالية مضادة لصدأ الفولاذ عند وجوده في الأوساط الحامضية^(٤٩).

الجزء العملي الكيميائي:

(I) الأجهزة والمواد الكيميائية المستخدمة:

١. جهاز قياس طيف الأشعة تحت الحمراء (I.R) نوع Shimadzu Infrared Spectrophotometer Fourier Transform FTIR-8400S (KBr).

٢. جهاز قياس طيف الأشعة فوق البنفسجية (U.V) نوع Shimadzu (UV-visible) Spectrophotometer UV-1650 PC

تم استخدام الإيثانول (95%) كمذيب.

٣. جهاز قياس درجة الانصهار نوع

Electrothermal Melting Point Apparatus

استخدمت تقنية كروماتوغرافية الطبقية الرقيقة (T.L.C) لغرض التأكد من نقاوة المركبات المحضرية وذلك باستخدام الميثanol المطلق كمذيب لعدد من المركبات المحضرية واستخدام مزيج من الإيثانول والهكسان الاعتيادي في الطور المتحرك، وعليه فقد تم احتساب سرعة الجريان (Rate of flow) لبعض المركبات المحضرية^(٤٠).

(II) طرائق التحضير:

(١) تحضير 4-ناتيروبنزوات الأثيل (A₁)^(٤١)

يذاب (0.02) مول، 3.34 غم من 4-نيترو حامض البنزويك مع زيادة من الإيثانول المطلق (50 مل)، ويضاف إليه (2 مل) من حامض الكربوريك المركز. يصعد المزيج لمدة 7-6 ساعة، يبخر المذيب تحت الضغط المخلخل، ويبعد المزيج ثم يرشح الراسب الأصفر المتكون وتعاد بلوترته باستخدام الإيثانول (%) درجة الانصهار= 56 - 57 °م وبنسبة منتج 79%^(٤١).

(٢) تحضير هيدرازيدات الحوامض الكاريوكسيلية 4-(A₂)^(٤٢)

يذاب (0.1) مول من استر الحامض الكاريوكسيلي مع (0.1 مول، 5 مل) من الهيدرازين المائي (%) في (40 مل) من الإيثانول المطلق، يصعد المزيج لمدة 6-5 ساعات) ثم يبرد

اظهر الطيف حزمة امتصاص عند (1737cm⁻¹) تعود لمط مجموعة الكاربونييل، وحزمة المط المتماثل وغير المتماثل لمجموعة (C-H) الاليفاتي عند (2916-2864 cm⁻¹)، تميز الطيف أيضاً بظهور حزمتين في المنطقة (1514-1356cm⁻¹) لمط مجموعة (NO₂). وهما حزمة المط المتماثل وغير المتماثل، وظهور حزمة عند (1242-1033 cm⁻¹) تعود لمط الآصرة (C-O) المنفردة ، ولوحظ اختفاء حزمة مط مجموعة (O-H) العائدة للحامض الكاربوكسيلي وارتفاع قيمة مط مجموعة الكاربونييل في الاستر مقارنة مع قيمتها في الحامض الكاربوكسيلي^(٤٥). كما مبين في (الجدول 12)

(٢) مركبات الهيدرازيد (A₄-A₂):

استخدمت الطريقة الاعتيادية لتحضير مركبات الهيدرازيد من تفاعل استرات الحوامض الكاربوكسيلية مع الهيدرازين المائي في الإيثانول المطلق عبر تفاعلات التسويفض التيوكليوفي على ذرة الكاربون في مجموعة الكاربونييل، إذ يتم التفاعل وفق ميكانيكية رباعي السطوح (Tetrahedral Mechanism) وعلى خطوتين، الأولى تتضمن هجوم نيوكلويوفي على ذرة الكاربون في مجموعة الكاربونييل وفيها يتحول تهجين ذرة الكاربون في مجموعة الكاربونييل إلى (Sp³) ويكون مركب وسطي غير مستقر، أما الخطوة الثانية فتتم فيها مغادرة مجموعة الإيثوكسي من المركب الوسطي معطياً الهيدرازيد وكما موضح في الميكانيكية الآتية^(٤٦):

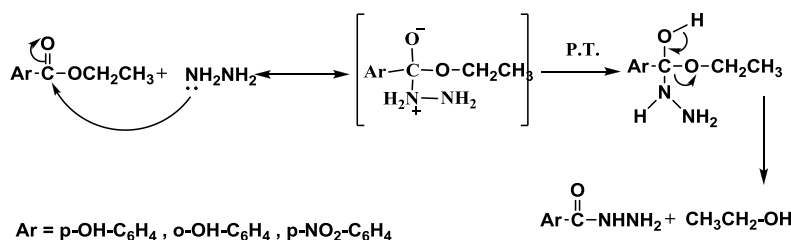
٣) طريقة اختبار حساسية المركبات المحضرة:

تم استخدام طريقة الانتشار في الأكار المحورة (Modificol method) أي طريقة كربى وباور (Kerby-Bauer method)^(٤٧)، اذ حضر وسط الأكار المغذي وعقم بجهاز المؤصلة ثم وزع في أطباق وترك ليتصاب وحضر عند درجة حرارة (37 °) لمدة (24) ساعة (37 °) لتأكد من عدم تلوثها بعد ذلك لفحت الأطباق بالعزلات الجرثومية بطريقة النشر ثم حضر عند درجة حرارة (37 °) لمدة ساعة واحدة، ثم حفرت الأطباق بمعدل ست حفر في محيط كل طبق وأضيف في كل حفرة أحد التركيز المحضرة وبعد ذلك حضرت الأطباق بدرجة حرارة (37 °) ولمدة (24) ساعة ثم قرأت النتائج في اليوم التالي لبيان حساسية المشتقات المستخدمة التي تعتمد على قطر التثبيط، حيث إن الزيادة في قطر التثبيط يعني الزيادة في الفعالية الباليلوجية للمركبات المحضرة قيد الدراسة. وقد تم استخدام كل من سيفالاكسين (Cefalaxine) وجينيتاميسين (Gentamycin) وكloramfenikol (Chloramphenicol) (مضاد حيوي قياسي) كعينات للسيطرة في هذه الدراسة بالاعتماد على ما يستخدم في مختبر الصحة العامة والمعتمد عن فحوصات منظمة الصحة العالمية (Vandepitte)^(٤٨).

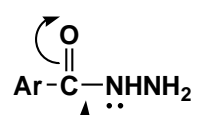
مناقشة الجزء الكيميائي :

(١) مركب ٤-نيترو بنزووات الأثيل (A₁):

أجريت عملية الاسترة حسب الابييات^(٤٩)، وشخص الاستر المحضر باستخدام طيف الأشعة تحت الحمراء (I.R)، إذ

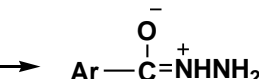


أوطاً مقارنة بامتصاصات مجموعة الكاربونييل الاسترية ويعزى ذلك إلى ظهور الرنين في حالة الهيدرازيد .



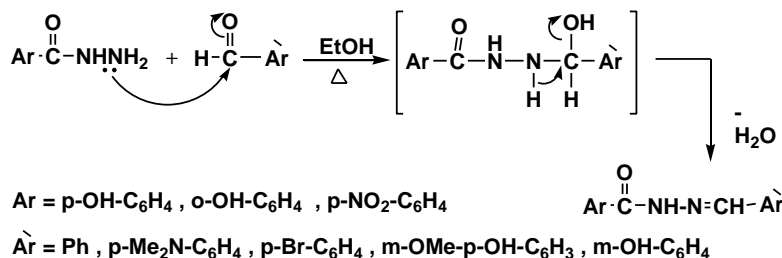
مجموعة (C=C) في الحلقة الأروماتية^(٤٧). كما مبين في (الجدول 12). أما طيف الأشعة فوق البنفسجية (U.V) فقد أعطى حزم لأعلى امتصاص (λ_{max}) عند المدى (291-258nm)^(٢)، وتعزى هذه امتصاصات إلى حصول الانتقالات الإلكترونية من نوع (n → π*, π → π*) والتي تعود إلى الأزواج الإلكترونية غير

أظهر طيف الأشعة تحت الحمراء حزماً عند (1620-1683cm⁻¹) تعود لمط مجموعة الكاربونييل الأميدية حيث يلاحظ أن امتصاصات مجموعة الكاربونييل قد حصلت لها إزاحة نحو تردد



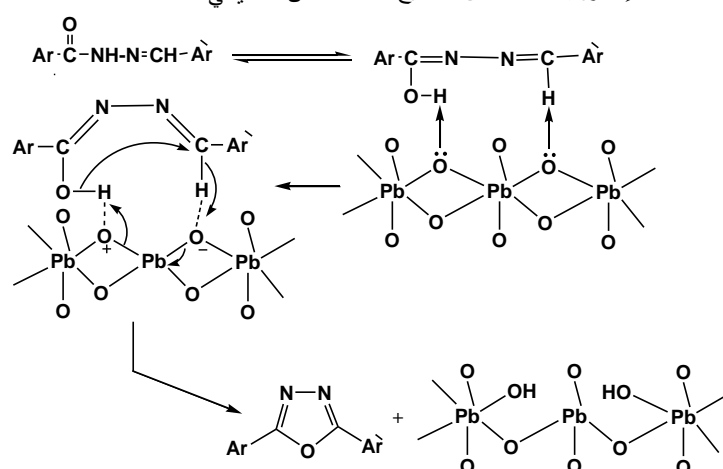
تميز الطيف أيضاً بظهور حزم مط عند التردد (3425-3271 cm⁻¹) و (3276-3136 cm⁻¹) تعود لمط مجموعة (NH) الأمينية والأميدية على التوالي، فضلاً عن ظهور حزم مط لمجموعة (=C-H) الأروماتي في المنطقة (3093-3072 cm⁻¹)، كما أعطى الطيف حزماً في المناطق (1492-1458 cm⁻¹) و (1406-1590 cm⁻¹) تعود لمط

حضرت مركبات الهيدرازون من تكافح الهيدرازيدات مع البنزالديهايد أو أحد معارضاته بوجود الإيثانول كمحذب ولمدة ساعتين والميكانيكية المقترحة لتحضير هذه المركبات هي كما يأتي^(٣٩):



(n → π*, π → π*) وأن سبب ظهور هذه الحزم هو احتواء هذه المركبات على أواصر باي لمجموعة (C=N) بالإضافة إلى المجاميع الأخرى والأزواج الإلكترونية غير المشاركة على ذرة النتروجين والأوكسجين وقد لوحظ أن هذه الحزم تظهر عموماً في طول موجي أطول من الهيدرازيدات المقابلة، وذلك لزيادة التاثير الرئيسي الناتج عن إدخال حلقات بنزين أخرى وهذه الإزاحة الكيميائية إلى أطوال موجية أعلى دليل واضح على تكون الهيدرازون^(٣٨).

٤) مركبات ٥,٢-ثاني اريل-٤,٣,١-أوكساديازول (A₃₄-A₂₀)
 حضرت هذه المركبات عن طريق حلقة مشتقات الهيدرازونات بعملية الأكسدة الحلقية باستخدام ثاني أوكسيد الرصاص في وسط من حامض الخليك التلجي، وقد تم اقتراح ميكانيكية التفاعل كما يأتي^(٣٩):



الكاربونيل الأميدية وظهور حزمة المط غير المتماثل لمجموعة (C-O-C) في حدود (1276-1064 cm⁻¹) وحزمة المط المتماثل في المنطقة (1180-1006 cm⁻¹).^(٤٠)

وعند دراسة أطياف الأشعة فوق البنفسجية (U.V) لهذه المركبات المحضرية اظهرت أطوال موجية لأعلى امتصاص (λ_{max}) عند المدى (396-223nm)، وهي تعود لانتقالات الإلكترونية من نوع (n → π*, π → π*, n → π^{*}، π → π^{*})، وقد لوحظ

المشاركة على ذرة الأوكسجين والنتروجين إضافة إلى الأواصر باي للأنظمة الأروماتية^(٤١).

٣) مركبات الهيدرازونات (A₁₇-A₅) :

اظهرت دراسة أطياف الأشعة تحت الحمراء للهيدرازونات امتصاص ذو شدة معتدلة للأصارة (C=N) في المدى (1680-1622 cm⁻¹، وحزمة مط الأصارة (N-H) ظهر في المدى (3400-3150 cm⁻¹). عليه فقد شخصت المركبات المحضرة باستخدام تقنية (I.R) وأعطت حزم تردد عند المدى (1673-1613 cm⁻¹) تعود لمط أواصر الحلقات الأروماتية ومجموعة (C=O)، وحزم عند المدى (3267-3124 cm⁻¹) بالإضافة لمط الحلقات والمجاميع المعاوضة عليها^(٤٢,٤٣) وأظهر طيف الأشعة فوق البنفسجية (U.V) حزم لأعلى امتصاص (λ_{max}) المدى (382-245 nm)، ويمكن أن تعزى هذه الامتصاصات إلى الانتقالات الإلكترونية من نوع

شخصت المركبات المحضرة طيفياً باستخدام الأشعة تحت الحمراء (I.R) إذ أظهر الطيف حزم تردد عند المدى (1647-1602 cm⁻¹) عائدة لمط مجموعة (C=N)، وحزم عند المدى (3103-3029 cm⁻¹) تعود لمط الأصارة (C-H) الأروماتي (C=C) (1600-1523 cm⁻¹) فضلاً عن ظهور حزم عند الترددات (1490-1430 cm⁻¹) في الحلقة (C=C) في الأرجونية، وتميز الطيف باختفاء الحزم العائدة لمط مجموعة الأروماتية، وتميز الطيف باختفاء الحزم العائدة لمط مجموعة

اختبرت هذه الجراثيم نظراً لأهميتها في الحقل الطبي، و مقاومتها للمضادات الحيوية والمواد الكيموعلاجية^(٤٤٠). وتمت دراسة حساسية المشتقات باستخدام طريقة الانتشار في الأكار المحورة Modifical agar diffusion method وعند مقارنة نتائج دراسة التأثير الحيوي للمجموعة الأولى والمتمثلة بمشتقات الهيدرازون مع مشتقات الأوكساديازول والتي تمثل المجموعة الثانية لوحظ أنَّ مشتقات الأوكساديازول بصورة عامة ذات تأثير تثبيطي أعلى من مشتقات الهيدرازون، وكما بين في الجدولين (١٨، ١٧).

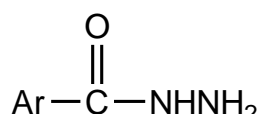
وأظهرت هذه الدراسة أنَّ الفعالية البالغوجية لكلا المجموعتين تزداد عند أعلى تركيز مستخدم لهذه المشتقات (١٠ ملغم/مل) ولجميع المشتقات التي أجريت لها الدراسة، وتبين أيضاً أنَّ المذيب (DMSO) المستخدم في الدراسة ليس له تأثير على فعالية الجراثيم المرضية قيد الدراسة، كما ملاحظ في الجدول (١٧).

ظهور هذه الحزم في طول موجي أطول من الهيدرازونات المقابلة بسبب احتواها على حلقة 4,3,1-أوكساديازول التي تحتوي على أواصر باي لمجموعة (C=N) وكذلك الأزواج الإلكتروني غير المشاركة على ذرات النيتروجين والأوكسجين مما يؤدي إلى زيادة الصفة الأورماتية^(٣٨). تم التأكيد من تقواة المركبات المحضرة باستخدام تقنية كروماتوغرافية الطبقة الرقيقة (T.L.C) وكما موضح في الجدول (١٥) :

مناقشة الجزء биологический:

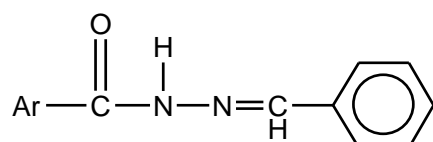
اجريت دراسة تأثير بعض المركبات المحضرة في هذا البحث على نمو أربعة أنواع من البكتيريا ، اثنان منها سالبة لصبغة *Pseudomonas* و *Escherichia coli* و *Staphy aeruginosa* ، والآخران موجبة لصبغة كرام وهم *Streptococcus pyogenes* و *lococcus aureus*.

الجدول (١): الصفات الفيزيائية لمشتقات الهيدرازيد للحامض الكاربوكسيليه (المركبات A₄-A₂)



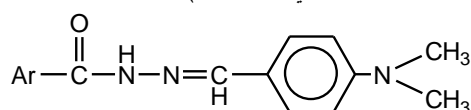
Comp. No.	Ar	Colour	Molecular Formula	M.P (C°)	Yield (%)	Recryst. Solvent
A ₂	4-OHC ₆ H ₄ -	White	C ₇ H ₈ N ₂ O ₂	261-263	76	Ethanol
A ₃	2-OHC ₆ H ₄ -	White	C ₇ H ₈ N ₂ O ₂	146-148	69	Ethanol
A ₄	4-NO ₂ C ₆ H ₄ -	Yellowish-White	C ₇ H ₇ N ₃ O ₃	216-217	72	Methanol

الجدول (٢): الصفات الفيزيائية لمشتقات بنزليهيد هيدرازونات الحامض الكاربوكسيليه (A₇-A₅)

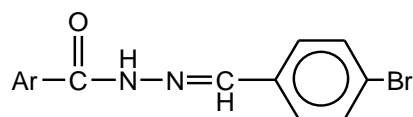


Comp. No.	Ar	Colour	Molecular Formula	M.P (C°)	Yield (%)	Recryst. Solvent
A ₅	4-OHC ₆ H ₄ -	Yellow	C ₁₄ H ₁₂ N ₂ O ₂	208-210	79	Ethanol
A ₆	2-OHC ₆ H ₄ -	Greenish-Yellow	C ₁₄ H ₁₂ N ₂ O ₂	74-76	94	Ethanol
A ₇	4-NO ₂ C ₆ H ₄ -	Yellow	C ₁₄ H ₁₁ N ₃ O ₃	243-244	89	Ethanol

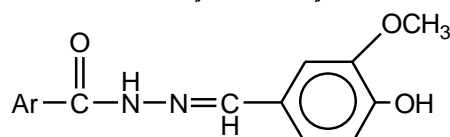
الجدول (٣): الصفات الفيزيائية لمشتقات 4-N,N-ثنائي مثيل أمينو) بنزليهيد هيدرازونات الحامض الكاربوكسيليه(A₁₀-A₈)



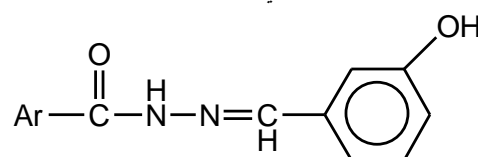
Comp. No.	Ar	Colour	Molecular Formula	M.P (C°)	Yield (%)	Recryst. Solvent
A ₈	4-OHC ₆ H ₄ -	Yellow	C ₁₆ H ₁₇ N ₃ O ₂	223-224	75	Methanol
A ₉	2-OHC ₆ H ₄ -	Pale Yellow	C ₁₆ H ₁₇ N ₃ O ₂	242-244	89	Ethanol
A ₁₀	4-NO ₂ C ₆ H ₄ -	Red	C ₁₆ H ₁₆ N ₄ O ₃	235-237	85	Aceton

الجدول (٤): الصفات الفيزيائية لمشتقات 4- بروموم بنزليهيد هايدرازونات الحوامض الكاربوكسيلية (A₁₃-A₁₁)

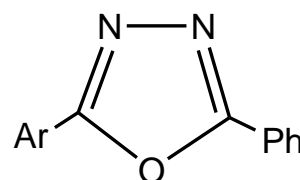
Comp. No.	Ar	Colour	Molecular Formula	M.P (C°)	Yield (%)	Recryst. Solvent
A ₁₁	4-OHC ₆ H ₄ -	Yellowish-White	C ₁₄ H ₁₁ N ₂ O ₂ Br	197-198	67	Methanol
A ₁₂	2-OHC ₆ H ₄ -	Yellow	C ₁₄ H ₁₁ N ₂ O ₂ Br	210-212	93	Methanol
A ₁₃	4-NO ₂ C ₆ H ₄ -	Pale Yellow	C ₁₄ H ₁₀ N ₃ O ₃ Br	231-232	62	Ethanol

الجدول (٥): الصفات الفيزيائية لمشتقات 3- ميثوكسي-4- هيدروكسي بنزليهيد هايدرازونات الحوامض الكاربوكسيلية (A₁₆-A₁₄)

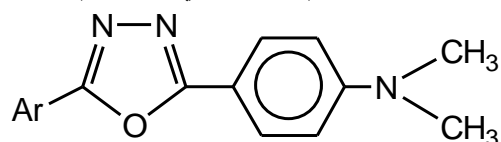
Comp. No.	Ar	Colour	Molecular Formula	M.P (C°)	Yield (%)	Recryst. Solvent
A ₁₄	4-OHC ₆ H ₄ -	White	C ₁₅ H ₁₄ N ₂ O ₄	148-150	74	Ethanol
A ₁₅	2-OHC ₆ H ₄ -	Brownish-White	C ₁₅ H ₁₄ N ₂ O ₄	220-222	53	Ethanol
A ₁₆	4-NO ₂ C ₆ H ₄ -	Yellow	C ₁₅ H ₁₃ N ₃ O ₅	192-194	67	Ethanol

الجدول (٦): الصفات الفيزيائية لمشتقات 3- هيدروكسي بنزليهيد هايدرازونات الحوامض الكاربوكسيلية (A₁₉-A₁₇)

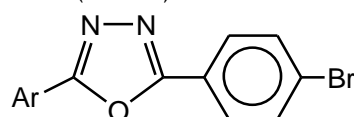
Comp. No.	Ar	Colour	Molecular Formula	M.P (C°)	Yield (%)	Recryst. Solvent
A ₁₇	4-OHC ₆ H ₄ -	Turbid-White	C ₁₄ H ₁₂ N ₂ O ₃	200-202	93	Ethanol
A ₁₈	2-OHC ₆ H ₄ -	Yellow	C ₁₄ H ₁₂ N ₂ O ₃	170-172	90	Ethanol
A ₁₉	4-NO ₂ C ₆ H ₄ -	Pale Yellow	C ₁₄ H ₁₁ N ₃ O ₄	233-234	72	Ethanol

الجدول (٧): الصفات الفيزيائية لمشتقات 5- اريل - 2- فنيل - 4,3,1- أوكساديازول (A₂₂-A₂₀)

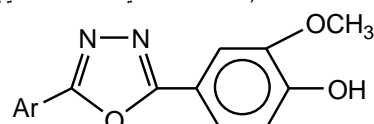
Comp. No.	Ar	Colour	Molecular Formula	M.P (C°)	Yield (%)	Recryst. Solvent
A ₂₀	4-OHC ₆ H ₄ -	Greenish-Yellow	C ₁₄ H ₁₀ N ₂ O ₂	180-182	67	Ethanol
A ₂₁	2-OHC ₆ H ₄ -	Green	C ₁₄ H ₁₀ N ₂ O ₂	91-93	86	Ethanol
A ₂₂	4-NO ₂ C ₆ H ₄ -	Red	C ₁₄ H ₉ N ₃ O ₃	218-220	91	Ethanol

الجدول (٨) : الصفات الفيزيائية لمشتقات ٥-أريل-٤,٣,١-فنيل-٢-(أوكساديازول) (A₂₅-A₂₃)

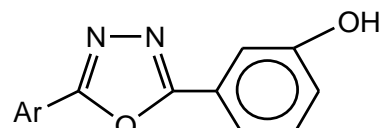
Comp. No.	Ar	Colour	Molecular Formula	M.P (C°)	Yield (%)	Recryst. Solvent
A ₂₃	4-OHC ₆ H ₄ -	Deep Orange	C ₁₆ H ₁₅ N ₃ O ₂	247-249	82	Ethanol
A ₂₄	2-OHC ₆ H ₄ -	Brown	C ₁₆ H ₁₅ N ₃ O ₂	218-220	93	Ethanol
A ₂₅	4-NO ₂ C ₆ H ₄ -	Reddish-Brown	C ₁₆ H ₁₄ N ₄ O ₃	250-252	87	Ethanol

الجدول (٩) : الصفات الفيزيائية لمشتقات ٥-أريل-٤,٣,١-فنيل-٢-(برومو) (A₂₈-A₂₆)

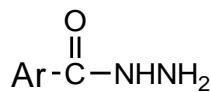
Comp. No.	Ar	Colour	Molecular Formula	M.P (C°)	Yield (%)	Recryst. Solvent
A ₂₆	4-OHC ₆ H ₄ -	Turbid-Yellow	C ₁₄ H ₉ N ₂ O ₂ Br	219-220	48	Ethanol
A ₂₇	2-OHC ₆ H ₄ -	Greenish-Yellow	C ₁₄ H ₉ N ₂ O ₂ Br	224-226	75	Ethanol
A ₂₈	4-NO ₂ C ₆ H ₄ -	Yellowish-White	C ₁₄ H ₈ N ₃ O ₃ Br	252-254	92	Ethanol

الجدول (١٠) : الصفات الفيزيائية لمشتقات ٥-أريل-٢-(٤-هيدروكسي-٣-ميثوكسي) فنيل-٤,٣,١-أوكساديازول (A₃₁-A₂₉)

Comp. No.	Ar	Colour	Molecular Formula	M.P (C°)	Yield (%)	Recryst. Solvent
A ₂₉	4-OHC ₆ H ₄ -	Yellowish-White	C ₁₅ H ₁₂ N ₂ O ₄	278-280	35	Ethanol
A ₃₀	2-OHC ₆ H ₄ -	White	C ₁₅ H ₁₂ N ₂ O ₄	349-350	41	Ethanol
A ₃₁	4-NO ₂ C ₆ H ₄ -	Orange	C ₁₅ H ₁₁ N ₃ O ₅	262-264	83	Methanol

الجدول (١١) : الصفات الفيزيائية لمشتقات ٥-أريل-٢-(٣-هيدروكسي) فنيل-٤,٣,١-أوكساديازول (A₃₄-A₃₂)

Comp. No.	Ar	Colour	Molecular Formula	M.P (C°)	Yield (%)	Recryst. Solvent
A ₃₂	4-OHC ₆ H ₄ -	Orange	C ₁₄ H ₁₀ N ₂ O ₃	331-333	72	Ethanol
A ₃₃	2-OHC ₆ H ₄ -	Deep-Brown	C ₁₄ H ₁₀ N ₂ O ₃	160-161	83	Ethanol
A ₃₄	4-NO ₂ C ₆ H ₄ -	Red	C ₁₄ H ₉ N ₃ O ₄	178-180	27	Ethanol

الجدول (١٢): المعلومات الطيفية لمشتقات هيدرازيدات الحوامض الكاربوكسيلية (A_4 - A_2)

Comp. No.	U.V (nm) λ max EtOH	I. R. ν (cm ⁻¹)					
		C=O amid	(N-H) amid	(N-H) amine	(=C-H) Ar.	(C=C) Ar. ν_{asy} , ν_{sy} .	Others
A_2	258	1683	3195	3273	3093	1606 1460	ν (O-H): 3330, ν (1,4-disub.): 842
A_3	265	1628	3136	3271	3090	1590 1458	ν (O-H): 3328, ν (1,2-disub.): 760
A_4	291	1620	3276	3425	3072	1596 1492	ν (-NO ₂): sy: 1354, asy: 1512, ν (1,4-disub.): 865

الجدول (١٣): المعلومات الطيفية لمشتقات الهيدرازونات (المركبات A_{19} - A_5)

Comp. No.	U.V λ max (nm) EtOH	I. R. ν (cm ⁻¹)					
		C=N	C=O	N-H	Ar=C-H	Ar C=C	Others
A_5	286	1589	1616	3134	3035	1575 1488	ν (O-H): 3224, ν (monosub.): 691
A_6	245, 302	1622	1656	3193	3051	1573 1485	ν (O-H): 3232, ν (monosub.): 690
A_7	295	1600	1654	3217	3068	1552 1446	ν (-NO ₂): sy: 1344, asy: 1516, ν (monosub.): 717
A_8	374	1600	1627	3172	3112	1551 1429	ν (O-H): 3227, ν (ArC-N): 1363
A_9	382	1600	1658	3124	3083	1550 1444	ν (O-H): 3211, ν (ArC-N): 1317
A_{10}	247, 322	1590	1639	3153	3022	1574 1480	ν (-NO ₂): sy: 1346, asy: 1521, ν (ArC-N): 1294
A_{11}	293	1587	1620	3195	3047	1560 1479	ν (O-H): 3315, ν (ArC-Br): 617
A_{12}	295	1610	1658	3132	3070	1558 1452	ν (O-H): 3265, ν (ArC-Br): 530
A_{13}	300	1597	1654	3213	3076	1540 1485	ν (-NO ₂): sy: 1346, asy: 1515, ν (ArC-N): 844, ν (ArC-Br): 617
A_{14}	288	1591	1618	3195	3074	1537 1465	ν (O-H): 3317, ν (CH ₃ O-): 2810, ν (C-H): (2937-2918)
A_{15}	260	1592	1613	3192	3070	1500 1465	ν (O-H): 3334, ν (CH ₃ O-): 2852, ν (C-H): (2923-2902)
A_{16}	267	1595	1613	3267	3074	1572 1465	ν (O-H): 3330, ν (-NO ₂): sy: 1344, asy: 1516, ν (CH ₃ O-): 2854, ν (C-H): 2935-2887
A_{17}	278	1612	1645	3180	3053	1552 1465	ν (O-H): 3317, ν (1,3-disub.): 780
A_{18}	271	1610	1673	3172	3076	1575 1462	ν (O-H): 3316, ν (1,3-disub.): 788
A_{19}	280	1602	1662	3166	3055	1564 1469	ν (O-H): 3282, ν (-NO ₂): sy: 1348, asy: 1523, ν (1,3-disub.): 783

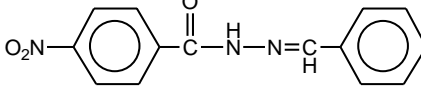
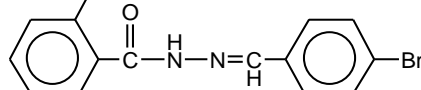
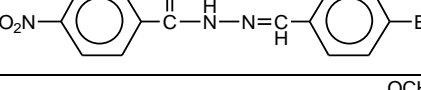
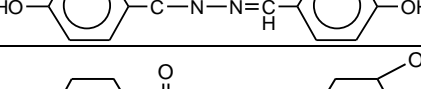
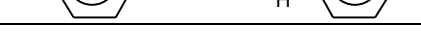
الجدول (١٤): المعلومات الطيفية لمشتقات ٥,٢-ثنائي اريل -٤,٣,١-أوكساديازول (المركبات A_{39} - A_{20})

Comp. No.	U.V λ max (nm) EtOH	I. R. ν (cm^{-1})				
		C=N	C-O-C	Ar =C-H	Ar C=C	Others
A₂₀	307	1612 1066		3053	1546 1490	ν (O-H): 3247,
A₂₁	312	1622 1070		3029	1541 1488	ν (O-H): 3116,
A₂₂	317	1604 1115		3068	1558 1454	ν (-NO ₂): sy: 1347, asy: 1520,
A₂₃	337	1616 1063		3072	1525 1448	ν (O-H): 3369, ν (ArC-N δ): 1364
A₂₄	396	1602 1062		3076	1523 1430	ν (O-H): 3253, ν (ArC-N δ): 1365
A₂₅	300	1620 1107		3031	1578 1483	ν (-NO ₂): sy; 1348, asy; 1526,
A₂₆	297	1635 1108		3049	1590 1483	ν (O-H): 3369, ν (C-Br): 622
A₂₇	300	1623 1006		3047	1590 1481	ν (O-H): 3397, ν (C-Br): 499
A₂₈	312	1622 1108		3078	1591 1486	ν (-NO ₂): sy; 1346, asy; 1514,
A₂₉	294	1647 1068		3075	1587 1454	ν (O-H): 3481, ν (CH ₃ O-): 2821, ν (C-H): (2964-2854)
A₃₀	288	1612 1155		3071	1576 1460	ν (O-H): 3448, ν (CH ₃ O-): 2823, ν (C-H)alph: (2921-2854)
A₃₁	289	1618 1112		3035	1587 1469	ν (O-H): 3193, ν (-NO ₂): sy; 1346, asy; 1514, ν (CH ₃ O-): 2856
A₃₂	293	1632 1170		3055	1597 1465	ν (O-H): 3313
A₃₃	286	1620 1155		3076	1577 1465	ν (O-H): 3317
A₃₄	310	1642 1180		3103	1562 1471	ν (O-H): 3446, ν (-NO ₂): sy; 1348, asy; 1523

الجدول (١٥): قيم الـ R_f لعدد من المركبات المحضرة باستخدام الميثانول كمدئب

Comp. No.	R_f	Comp. No.	R_f
A₂	0.83	A₁₈	0.61
A₃	0.75	A₂₀	0.94
A₄	0.88	A₂₄	0.90
A₅	0.86	A₂₅	0.91
A₉	0.82	A₂₉	0.89
A₁₀	0.84	A₃₁	0.96
A₁₄	0.81	A₃₃	0.78
A₁₆	0.84	-----	-----

الجدول (16): مناطق التثبيط الناتجة عن تأثير بعض مشتقات الهيدرازونات المحضرة

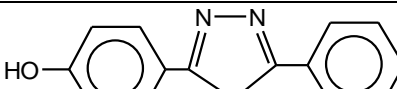
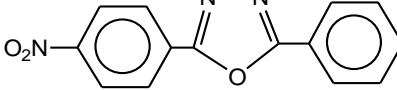
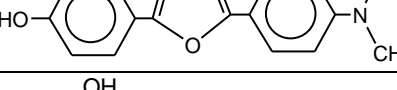
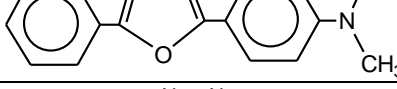
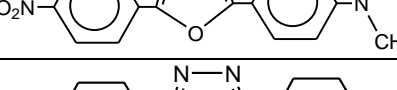
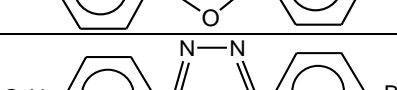
Comp. No.	Comp. Structure	Conc. DMSO	<i>E.coli</i>	<i>Ps. aeruginosa</i>	<i>St. aureus</i>	<i>Str. pyogenes</i>
A ₇		10 5 2.5	18(SS) 13(SS) 9 (R)	23(SS) 14(SS) 8 (R)	22(SS) 16(SS) 10 (R)	11(MS) 9 (R) -
A ₁₂		10 5 2.5	18(SS) 13(SS) 11(MS)	- - -	23(SS) 16(SS) 10 (R)	- - -
A ₁₃		10 5 2.5	15(SS) 13(SS) 10 (R)	- - -	- - -	- - -
A ₁₄		10 5 2.5	19(SS) 15(SS) 9 (R)	24(SS) 21(SS) 17(SS)	16(SS) 11(MS) 8 (R)	- - -
A ₁₇		10 5 2.5	20(SS) 15(SS) 12(MS)	18(SS) 14(SS) 10 (R)	21(SS) 14(SS) 11 (R)	- - -

(SS) = عندما تكون منطقة التثبيط من ١٣ ملم فما فوق وبعد المركب حساسا.

(MS) = عندما تكون منطقة التثبيط من ١٢-١١ ملم بعد المركب متوسط الحساسية.

(R) = عندما تكون منطقة التثبيط من ١٠ ملم فما دون بعد المركب مقاوما.

الجدول (17): مناطق التثبيط الناتجة عن تأثير بعض مشتقات 5,2-ثنائي أريل-1,3,4-أوكساديايازول المحضرة

Comp. No.	Comp Structure	Conc. DMSO	<i>E.Coli</i>	<i>Ps. aeruginosa</i>	<i>St. aureus</i>	<i>Str. pyogenes</i>
A ₂₀		10 5 2.5	23(SS) 18(SS) 14(SS)	16(SS) 13(SS) 8(R)	17(SS) 12(MS) 9(R)	17(SS) - -
A ₂₂		10 5 2.5	20(SS) 16(SS) 12(MS)	22(SS) 17(SS) 15(SS)	18(SS) 14(SS) 9(R)	22(SS) - -
A ₂₃		10 5 2.5	20(SS) 15(SS) 11(MS)	19(SS) 15(SS) 9(R)	17(SS) 14(SS) 8(R)	23(SS) - -
A ₂₄		10 5 2.5	18(SS) 14(SS) 10	21(SS) 16(SS) 12(MS)	23(SS) 18(SS) 15(SS)	- - -
A ₂₅		10 5 2.5	17(SS) 15(SS) 12(MS)	20(SS) 15(SS) 11(MS)	20(SS) 17(SS) 13(SS)	15(SS) - -
A ₂₆		10 5 2.5	22(SS) 18(SS) 15(SS)	17(SS) 15(SS) 10(R)	18(SS) 15(SS) 12(MS)	- - -
A ₂₈		10 5 2.5	20(SS) 18(SS) 14(SS)	19(SS) 14(SS) 9(R)	13(SS) 11(MS) 8(R)	26(SS) 15(SS) 11(MS)

الجدول (18): قطر التثبيط لبعض المضادات الحيوية (معاملات السيطرة عند التركيز (١٠ ملغم)

Cont. No.	Name	<i>E.Coli</i>	<i>Ps. Aeruginosa</i>	<i>St. aureus</i>	<i>Str. Pyogenes</i>
1.	Cefalaxine	8	18	20	-
2.	Gentamycin	22	20		16
3.	Chloramphenicol	21	-	14	17
4.	DMSO	-	-	-	-

المصادر :

27. S. B. Reddy, T. Sambian and K. K. Reddy, Indian. J. Chem., 34B, 644 (1995).
28. H. EL- Sayeed, E. Mohy and M. Ibrahim, Indian J. Chem., 35B, 1067 (1996).
29. H. P. Shah, B. R. Shah, J. J. Bhat, N. C. Desai, P. B. Trivedi and N. K. Undavia, Chem. Environ. Res., 6 (182), 43 (1997), Chem. Abstr., 130, 182419b (1999).
30. N. T. AL- Khalidy, M. Sc. Thesis in chem.,, Baghdad University, Collage of Education, (2005).
31. H. S. Chen, Z- M. Li and J. F. Li, Chem. J. Chin. University, 21 (10), 1520 (2000).
32. W. X. Qian, Rongzhany and Gonghua, J. Agric. Food Chem., 49, 124 (2001).
33. S. Tsunoda, H. Koezuka, T. Kurata, S. Yanaura and T. Ando, American J. Chem. Soc., 27 (2), 120 (1986).
34. F. Bentiss, M. Traisenel, H. Vezin, H. F. Hildeber and M. Lagrnee, Corrosion Sci., 46, 2781 (2004).
35. I. A. Vogel, "A Text Book of Practical Organic Chemistry", 3rd Edn., Longman Group Ltd. London, (1974).
36. W. Bake, C. N. Haksar and J. F. W. Meomic, J. Chem. Soc., 170 (1950).
37. A. K. Sen- Gupta and K. Hajela, J. Indian Chem. Soc., LVIII, 690 (1981).
38. A. N. Ali, Ph. D. Thesis in Chem., University of Mosul, Mosul- Iraq, (2006).
39. A. D. John and D. Van Nostrand, "Chemical Separation Method" 3rd Edn., Now York, 182 (1969).
٤٠. إي. نيسنتراء، سي. إي. روبرت، إن. إن. بيرسال، ترجمة: الرجب وفاء جاسم والقزاز حسن محمد علي، "علم الأحياء المجهرية"، ٩٠، مديرية دار الكتب للطباعة والنشر - جامعة الموصل (١٩٨٤).
41. G. H. John, R. K. Noel, H. A. Peter and T. W. Stanley, "Bergcys Manual of Determinative Bacteriology", 9th Ede., William and Hensyl, England (1994).
42. A. K. Sen- Gupta and H. K. Misra, J. Antibact. And antifung., 8 (3), 179 (1980).
43. A. W. Bauer, W. M. Kirby, J. C. Sherris and M. Turn, Am. J. Clin. Path., 45, 493 (1966).
44. Vandepitte, K. Engbac, P. Pito and G. Heuk, "Basic Laboratory Procedure in Clinical Bacteriology", World Health Organization, Geneva, 78 (1991).
1. J. P. Henichart, H. Rymond and L. Brigg, J. Heterocyclic Chem. Soc., 14 (4), 615 (1977).
2. A. K. Sen. Gupta and K. Hajela, J. Indian Chem. Soc., LVIII, 690 (1981).
3. G.S. Gadinamath, S.A. Patil and A.S. Shya, Ind. J. Chem., 35 (13), 1062 (1996).
4. E. EL. Tamaty, E. M. Salem and R. N. Metwally, Egypt. J. Chem., 10 (5), 330 (1997).
5. J. Durinda and E. Inatsukova, Chem. Abst., 64, 12639e (1965).
6. S. Y. Liu and X. P. Hui, Chem. J. Chin. University, 21 (9), 1386 (2000).
7. J. J. Kim, K. S. Kim, S. Beak, H. C. Kim and M. Ree, Kor. J. Poly. Sci., Part A, Poly. Chem., 40, 1175 (2002).
8. B. S Rashi, D. S. Mehta and V. H. Shah, Ind. J. Chem., 35 (13), 111 (1996).
9. E. M. Bavin, D. J. Drain, M. Seiler and D. F. Seymour, J. Pharm. and Farmacol., 4, 844 (1952).
10. K. S. Varma and P. S. Fernands, J. Ind. Chem. Soc., LX1, 234 (1984).
11. Y. M. Noubar, M. sc. Thesis in Chem., Baghdad University, Collage of Science, (1985).
12. Yu. P. Kiteav, B. I. Buzykin and T. V. Troepol Skaya, Russ. Chem. Rev., 39, 441 (1970).
13. A. R. Starros, A. R. Nestor and E. A. Nrcholas, J. Synth. Org. Chem., (1986).
14. M. E. Shaban, A. Z. Nasr and S.M. EL. Badry, J. Islamic Acad. Sci., 4 (3), 148 (1991).
15. M. Katyal and Y. Dutt, Talanta, 22, 151 (1975).
16. R. B. Sinh and P. Jain, Talanta, 29, 77 (1982).
17. M. Mohan, M. P. Gupta, L. Chandra and N. K. Tha, Inorg. Chim. Acta., 61, 151 (1988).
18. I. Suez, S. O. Pehkonen and M. R. Hoff Man, Sci. Technol., 28, 2080 (1994).
19. L. H. Terra, A. M. C. Areias, I. Gaubeur and M. E. Suez Iha, Spectros Copy Letters, 32, 257 (1999).
20. D. N. Majumdar and P. C. Guha, J. Indian Chem. Soc., 10, 685 (1933), Chem. Abstr., 28, 3382 (1934).
21. E. Hoggarth, J. Chem. Soc., 4811 (1952).
22. S. N. Sawheny and P. K. Sharma, Bio Org. Med. Chem. Let., 3 (8), 1551 (1993).
23. A. Farghaly and H. EL- Kashef, Assiut University, Egypt, ARKIVOC, (xi), 76 (2006).
24. A. R. Katritzky and C. W. Reez, Com. Het. Chem., En Gland, 6, 445 (1984).
25. M. A. E- Shaban, A. Z. Nasr and S. M. EL- Badry, J. Islamic. Acad. Sci., 4 (3), 148 (1991).
26. M. Moyrin and D. Mysinger, Pharmazine, 38 (8), 56 (1993).

48. R.M. Silverstein, G.G. Bassler and T.C. Morrill, "Spectrometric Identification of Organic Compounds", 4th Edn., John Wiley & Sons. Inc., New York, (1988).
49. C. N. Roa, "ultra Violet and Visible Spectroscopy Chemical application, Butter- Woths Ltd., London, (1961).
45. في. لم. بارخ، ترجمة: شربة عبد الحسين خضرير، الراوى جاسم محمد علي، العراقي محمد أحمد، "أطیاف امتصاص الجزيئات العضوية"، مطبعة جامعة الموصل (١٩٨٥).
46. J. March, "Advanced Organic Chemistry: Reactions, Mechanisms and Structure", 2nd. Edn., Mc Graw- Hill, Co., Japan, 307 (1977).
47. C.N.R. Roa, "Chemical Application of In Frared Spectroscopy", Academic Press, New York and London (1963).

Synthesis of some 1,3,4-Oxadiazole Derivatives by Oxidative Cyclization Method and studying their Biological Activity

Khamal M.F. Al-Janaby, Bushra A. Khairallah , Khalid M. Mohammed Al-Janabi

Chem. Dept. , College of Education, Tikrit University, Tikrit , Iraq

(Received: 7 / 6 / 2009 , Accepted: 27 / 4 / 2010)

Abstract

This study included preparation of hydrazide derivatives (A_2 - A_4) by reaction of carboxylic acid esters with hydrazine hydrate in absolute ethanol. Hydrazone derivatives (A_5 - A_{19}) were prepared by condensation of hydrazide derivatives with appropriate aromatic aldehydes absolute ethanol, then they were converted to 1, 3, 4-oxadiazole derivatives (A_{20} - A_{34}) by treating with lead dioxide in glacial acetic acid at room temperature .

The Structure of the synthesized compounds were confirmed by I.R and U.V spectral data , Thin Layer Chromatography (T. L. C) as well as their physical properties.

This study also included the studying the effect of some prepared compounds (A_7 , A_{12} , A_{13} , A_{14} , A_{17} , A_{20} , A_{22} , A_{23} , A_{24} , A_{25} , A_{26} , A_{28}) on the growth of four types of germs which are known in their resistance to antibiotics, and they were *Escherichia coli*, *Pseudomonas aeruginosa* (gram negative) and *Staphylococcus aureus*, *Streptococcus pyogenes* (gram positive). The sensitivity of these compounds is tested on depending on the measurement of inhibition zone.

It was noticed that these compounds showed high activity against *Escherichia coli*, *Pseudomonas aeruginosa* and *Staphylococcus aureus*, where a low activity against *streptococcus pyogenes*.

The extent of influence of these compounds was compared with three standard antibiotics as controlling samples and they were: Chloramphenicol, Cephalaxine, and Gentamycin.